

弱測定を用いた状態推定

小林 弘和¹, 鹿野豊²

高知工科大学¹, 分子科学研究所²

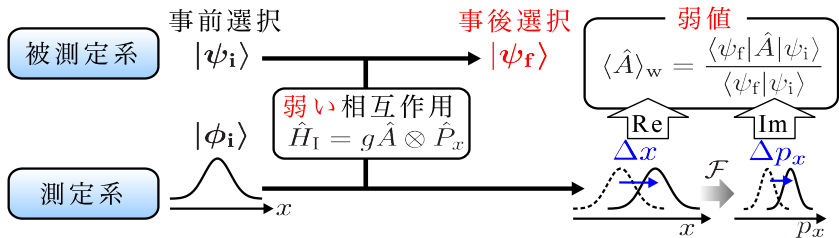
第3回 QUATUO 研究会

[arXiv:1311.3357](https://arxiv.org/abs/1311.3357)

2014/1/12

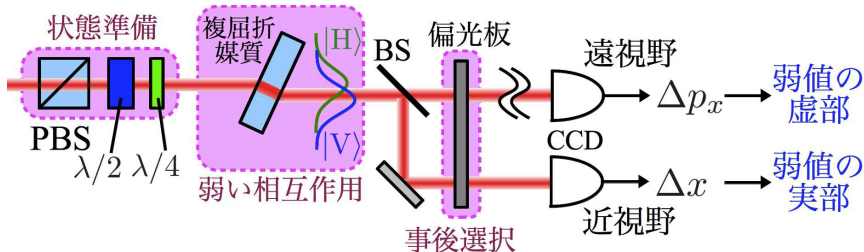
弱値と弱測定

- 被測定系の事後選択を伴う弱い量子測定
Y. Aharonov et al., Phys. Rev. Lett. **60**, 1351 (1988)
- 弱値 $\langle \hat{A} \rangle_w$ は複素数で期待値の範囲外の値をとる
- 測定系のガウス波束の移動として弱値 $\langle \hat{A} \rangle_w$ を取得
 - 平均位置の移動 $\Delta x \propto \text{Re}\langle \hat{A} \rangle_w$
 - 平均運動量の移動 $\Delta p_x \propto \text{Im}\langle \hat{A} \rangle_w$



弱測定を利用した波動関数の直接観測

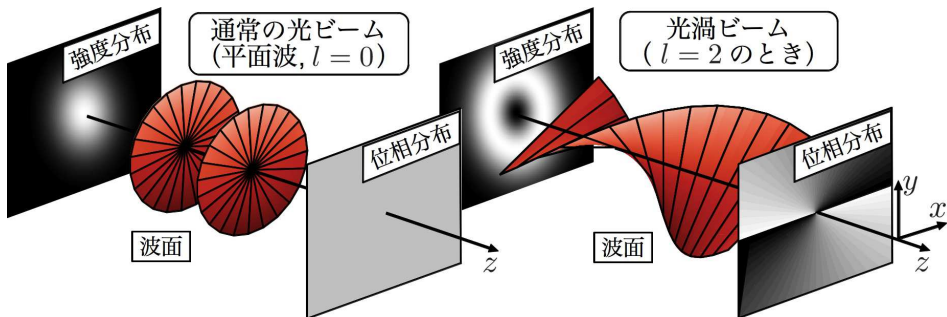
- 波動関数 (複素関数) を弱値に対応させて弱測定で観測
→ **post-processing** が必要ない
 - 空間分布 J. S. Lundeen *et al.*, Nature **474**, 188 (2011)
 - 偏光状態 J. Z. Salvail *et al.*, Nat. Photonics **7**, 316 (2013)
 - 空間モード分布 M. Malik *et al.*, arXiv:1306.0619



弱値の実部と虚部の取得に**個別の実験系が必要**
→ ガウシアンビームを測定系としているから

光渦ビーム (ラゲールガウスビーム)

- 中心に強度 0 の暗点 (Zero Intensity Point, ZIP)
- ドーナツ型の強度分布とらせん状の等位相面
- 動径モード p (輪の数) と方位モード l (位相の変化量)
今回は $p = 0$, $l = +1$ を用いる
- 軌道角運動量 lh を持つ



光渦ビームを用いた弱測定

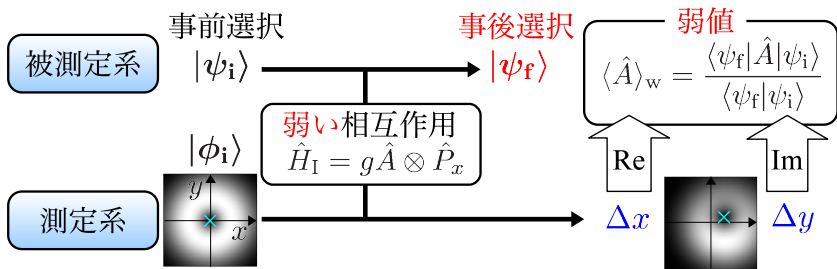
- 測定系：光渦ビーム

H. Kobayashi *et al.*, Phys. Rev. A **86**, 053805 (2012)

G. Puentes *et al.*, Phys. Rev. Lett. **109**, 040401 (2012)

- 位相特異点の二次元的な移動量から弱値を取得

- x 方向移動量 $\Delta x \propto \text{Re}\langle \hat{A} \rangle_w$
- y 方向移動量 $\Delta y \propto \text{Im}\langle \hat{A} \rangle_w$

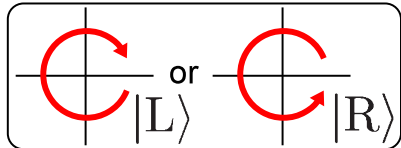
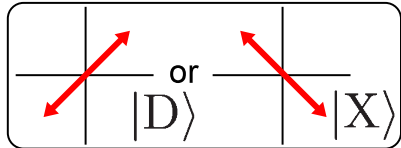
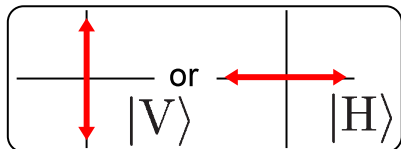


本研究の目的

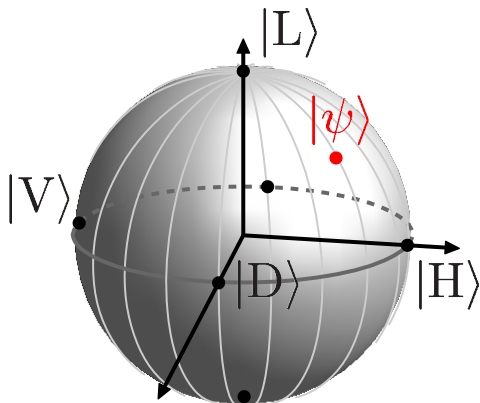
光渦ビームを用いた弱測定による偏光状態の直接観測

偏光の測定と状態空間

偏光の測定：2値



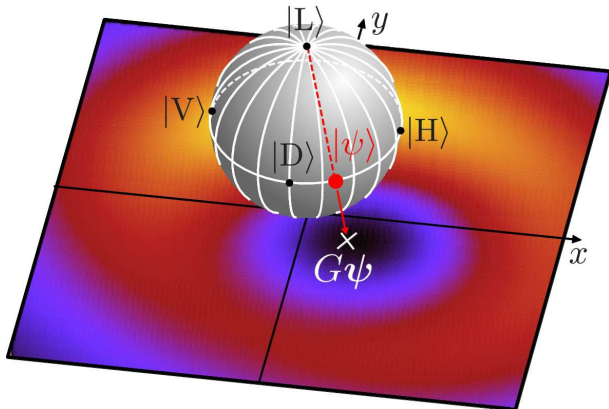
状態空間：2次元球面



ポアンカレ球

偏光状態の弱値とステレオ射影

- 未知の偏光状態： $|\psi\rangle = \cos\theta|R\rangle + e^{-i\phi}\sin\theta|L\rangle$
- 事後選択： $|R\rangle$ ，観測量 $\hat{\sigma}_x = |R\rangle\langle L| + |L\rangle\langle R|$
- $\langle\hat{\sigma}_x\rangle_w = \frac{\langle R|\hat{\sigma}_x|\psi\rangle}{\langle R|\psi\rangle} = \frac{e^{i\phi}}{\tan\theta}$
→ ステレオ射影点： $G\psi \equiv G(\text{Re}\langle\hat{\sigma}_x\rangle_w, \text{Im}\langle\hat{\sigma}_x\rangle_w)$



初期状態

未知の偏光状態： $|\psi\rangle$

測定系の初期状態：光渦ビーム

$$\phi_i(x, y) \propto (x + iy)^l \exp\left(-\frac{x^2 + y^2}{4W_0^2}\right)$$

ZIP



相互作用： $\hat{H} = \hbar G \delta(t) \hat{\sigma}_x \otimes \hat{P}_x$

事後選択： $\langle R |$

弱条件： $\frac{W_0}{G} \gg \max(1, |\langle \hat{\sigma}_x \rangle_w|)$

終状態

$$\phi_f(x, y) = \langle 1 | \psi \rangle \phi_i(x - G \langle \hat{\sigma}_x \rangle_w, y)$$

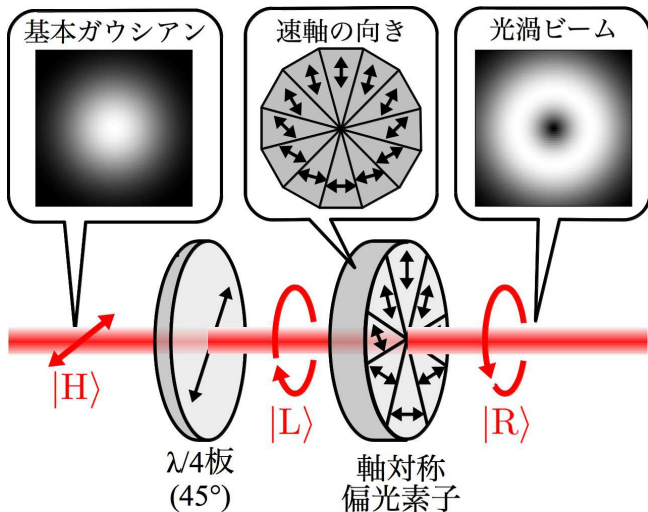


$$|\phi_f(x, y)|^2 \propto |x - G \cdot \text{Re} \langle \hat{\sigma}_x \rangle_w + i(y - G \cdot \text{Im} \langle \hat{\sigma}_x \rangle_w)|^2 \times (\text{Gaussian})$$

ZIP

光渦ビームの生成法

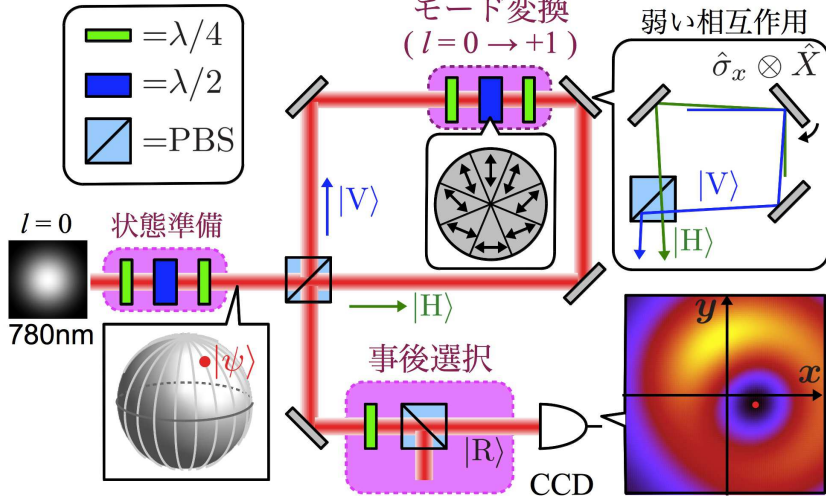
- 軸対称偏光素子： $\lambda/2$ 板の速軸が方位角によって異なる
- 円偏光 ($l = 0$) \rightarrow 軸対称偏光素子 \rightarrow 円偏光 ($l = \pm 1$)



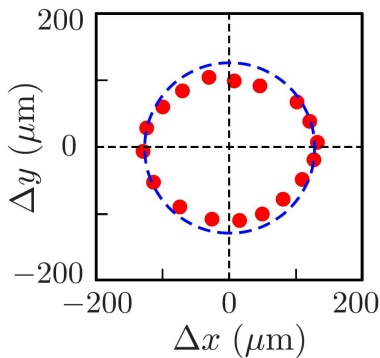
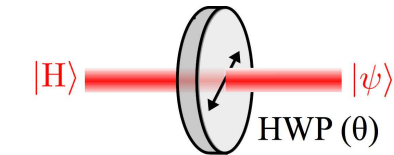
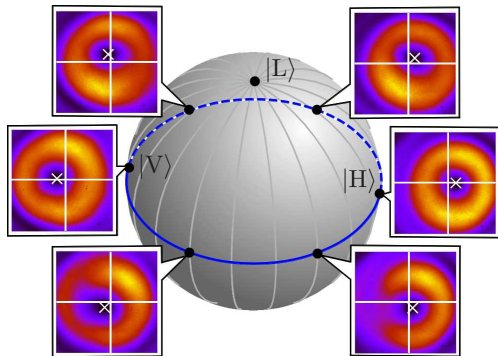
光渦を利用した弱測定による偏光状態測定の実験系

偏光サニャック干渉計を用いて

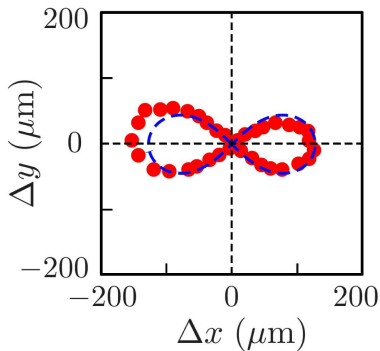
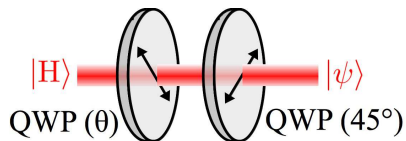
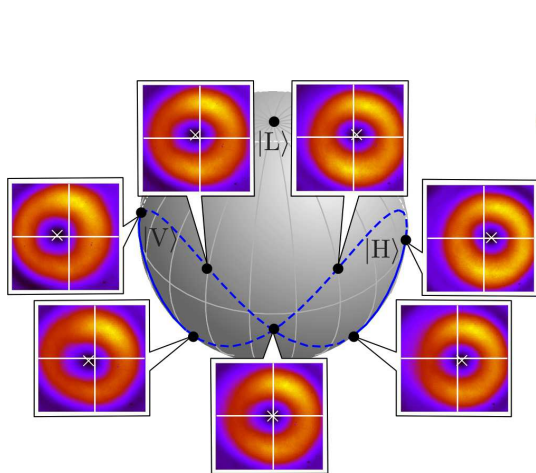
- モード変換 $|\psi\rangle \otimes |l=0\rangle \rightarrow |\psi\rangle \otimes |l=+1\rangle$
- 鏡による微小偏向 $\hat{H} \propto \hat{\sigma}_x \otimes \hat{X}$



直線偏光状態の直接観測

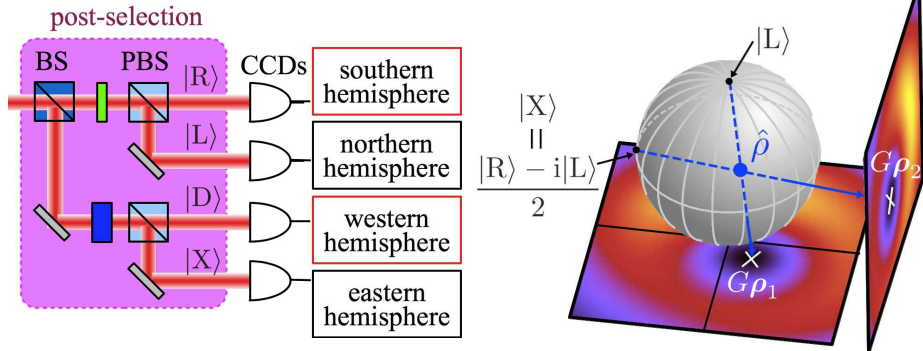


八の字経路上の偏光状態の直接観測



- 光渦ビームを測定系とした弱測定を用いた偏光状態の測定手法を提案
- 位相特異点の移動量 Δx , Δy からポアンカレ球のステレオ射影を観測
- CCD を用いて位相特異点の位置と偏光状態が直接対応することを確認
- [arXiv:1311.3357](https://arxiv.org/abs/1311.3357)

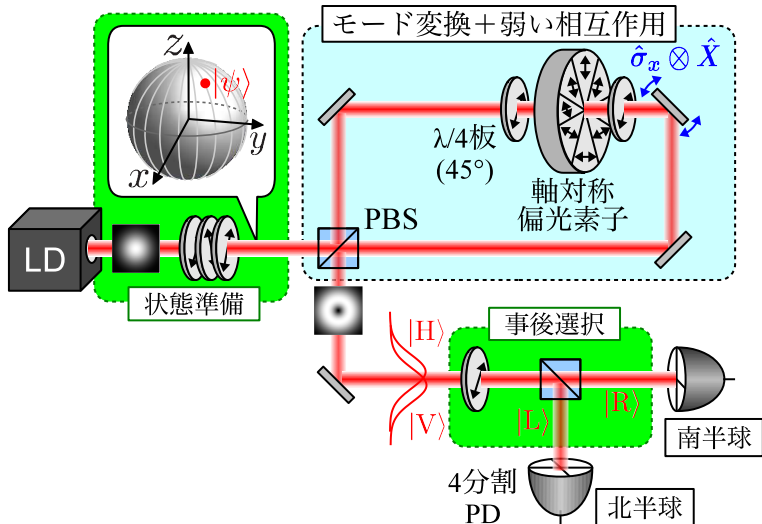
今後の展開



- CCD カメラによる ZIP の二次元位置取得
→ 強度の平均位置 (4ch フォトダイオード)
- 北半球と南半球を別々に観測
- 混合状態の直接観測
- 他の空間モード ($p \neq 0$ のラゲールガウス, エルミートガウス, ハイパージオメトリックガウス) やその重ね合わせの利用

4分割PDを用いた実験系

- 4分割PDを用いて平均位置のみを取得
- 4分割PDを2個用いて北半球と南半球を別々に取得
- 北半球PDと南半球PDの強度比を用いて混合状態を観測

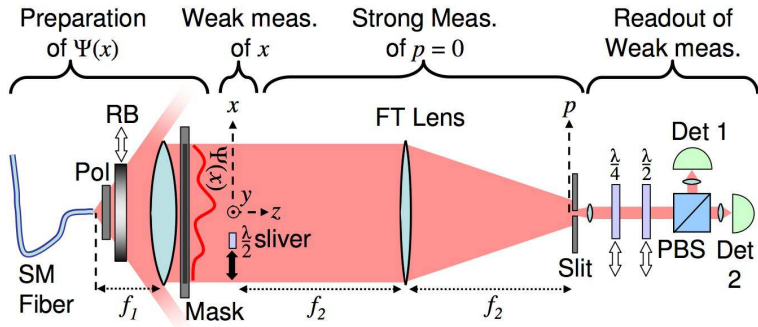


弱測定を利用した波動関数の直接観測

- 空間分布 J. S. Lundeen *et al.*, *Nature* **474**, 188 (2011)
- 偏光状態 J. Z. Salvail *et al.*, *Nat. Photonics* **7**, 316 (2013)
- 空間モード分布 M. Malik *et al.*, arXiv:1306.0619

未知の状態： $|\psi\rangle$, 事後選択： $|p_0\rangle$

$$\langle |x\rangle\langle x| \rangle_w = \frac{\langle p_0|x\rangle\langle x|\psi\rangle}{\langle p_0|\psi\rangle} \propto \psi(x)$$



弱測定における近似

- 相互作用： $\hat{H} = g\delta(t)\hat{A} \otimes \hat{P}_x \rightarrow \hat{U} = \exp\left(-i\frac{g}{\hbar}\hat{A} \otimes \hat{P}_x\right)$
- 被測定状態： $|\psi_i\rangle \xrightarrow{\text{事後選択}} |\psi_f\rangle$ ，測定状態： $|\phi_i\rangle \rightarrow |\phi_f\rangle$

$$||\Psi_i\rangle\rangle = |\psi_i\rangle \otimes |\phi_i\rangle$$

↓ 時間発展 \hat{U} + 事後選択 $\langle\psi_f|$

$$|\phi_f\rangle = \langle\psi_f|\hat{U}|\psi_i\rangle|\phi_i\rangle \simeq \langle\psi_f|\psi_i\rangle \left(\hat{I} - i\frac{g}{\hbar}\langle\hat{A}\rangle_w\hat{P}_x\right)|\psi_i\rangle$$

$$\simeq \langle\psi_f|\psi_i\rangle \exp\left(-i\frac{g}{\hbar}\langle\hat{A}\rangle_w\hat{P}_x\right)|\psi_i\rangle$$

位置 x の平行移動演算子

弱条件

測定状態の波束の幅 Δx に対して

$$\Delta x \gg \max_{n \geq 2} \left[g \left| \langle\hat{A}\rangle_w \right|, g \left| \frac{\langle\psi_f|\hat{A}^n|\psi_i\rangle}{\langle\psi_f|\hat{A}|\psi_i\rangle} \right|^{1/(n-1)} \right]$$

弱条件

$$\frac{\sigma}{G} \gg \max(1, |\langle \hat{\sigma}_x \rangle_w|)$$

- 初期プローブ状態 $\phi_i(x, y)$: 光渦ビーム

$$\phi_i(x, y) = N \{x + i \cdot \text{sgn}(l)y\}^{|l|} \exp\left(-\frac{x^2 + y^2}{4\sigma^2}\right)$$

- 相互作用後の測定系の状態

$$\begin{aligned} \phi_f(x, y) = \frac{\langle \zeta | \psi \rangle}{2} & \left\{ (1 - \langle \hat{\sigma}_x \rangle_w) \phi_i(x + G, y) \right. \\ & \left. + (1 + \langle \hat{\sigma}_x \rangle_w) \phi_i(x - G, y) \right\} \end{aligned}$$

$$\xrightarrow{\text{弱条件}} \phi_f(x, y) = \langle \zeta | \psi \rangle \phi_i(x - G \langle \hat{\sigma}_x \rangle_w, y)$$

光渦ビーム ($l = -1$) の平均位置の厳密解

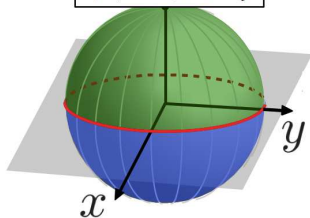
$$\begin{aligned}
 \langle \hat{X} \rangle_f &= \frac{G \cdot \text{Re} \langle \hat{\sigma}_x \rangle_w}{\frac{1}{2} \left\{ 1 + |\langle \hat{\sigma}_x \rangle_w|^2 + (1 - |\langle \hat{\sigma}_x \rangle_w|^2) \left(1 - \frac{G^2}{2\sigma^2} \right) e^{-G^2/2\sigma^2} \right\}} \\
 &= \frac{G \cos \phi \sin \theta}{1 - \cos \theta \left(1 - \frac{G^2}{2\sigma^2} \right) e^{-G^2/2\sigma^2}} \\
 &\xrightarrow{\text{弱条件}} G \cdot \text{Re} \langle \hat{\sigma}_x \rangle_w
 \end{aligned}$$

$$\begin{aligned}
 \langle \hat{Y} \rangle_f &= \frac{G \cdot e^{-G^2/2\sigma^2} \cdot \text{Im} \langle \hat{\sigma}_x \rangle_w}{\frac{1}{2} \left\{ 1 + |\langle \hat{\sigma}_x \rangle_w|^2 + (1 - |\langle \hat{\sigma}_x \rangle_w|^2) \left(1 - \frac{G^2}{2\sigma^2} \right) e^{-G^2/2\sigma^2} \right\}} \\
 &= \frac{G e^{-G^2/2\sigma^2} \sin \phi \sin \theta}{1 - \cos \theta \left(1 - \frac{G^2}{2\sigma^2} \right) e^{-G^2/2\sigma^2}} \\
 &\xrightarrow{\text{弱条件}} G \cdot \text{Im} \langle \hat{\sigma}_x \rangle_w
 \end{aligned}$$

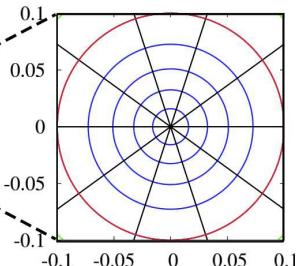
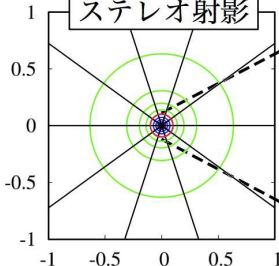
ステレオ射影と弱測定 ($\sigma/G = 10$ のとき)

- $\langle \hat{\sigma}_x \rangle_w < 1$ (南半球) のとき → 弱条件成立
- $\langle \hat{\sigma}_x \rangle_w \gg 1$ (北極付近) のとき → 弱条件不成立

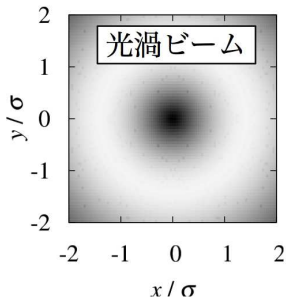
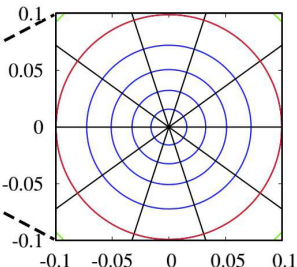
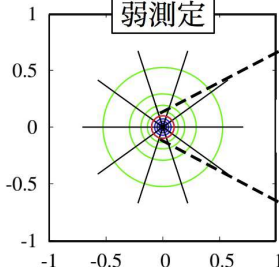
ポアンカレ球



ステレオ射影

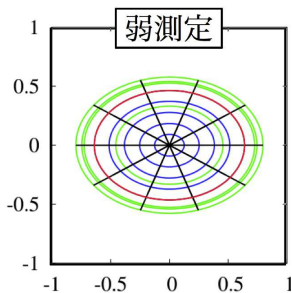
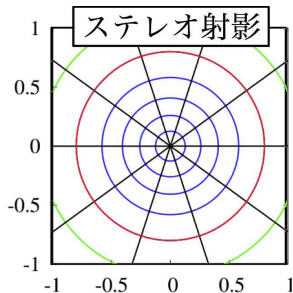
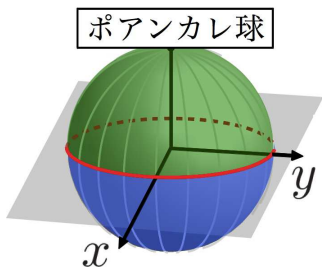


弱測定



ステレオ射影と弱測定 ($\sigma/G = 1.25$ のとき)

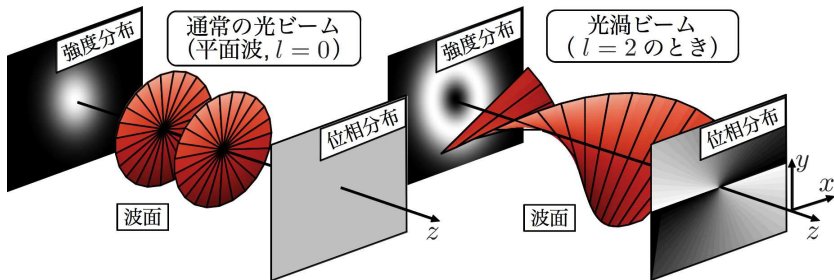
- $\langle \hat{\sigma}_x \rangle_w < 1$ でも弱条件不成立
- y 方向がつぶれてしまう
- 北半球と南半球の位置が分離されない
→ 北半球と南半球を別々に観測する必要性



光渦ビーム (ラゲールガウスモード)

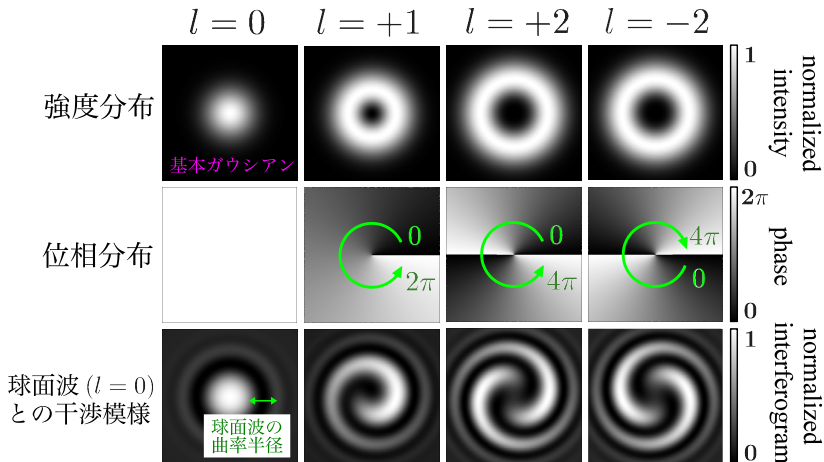
- ドーナツ型の強度分布とらせん状の等位相面
- 動径モード p (輪の数) と方位モード l (位相の変化量)
- $|l| > 0$ のとき x 方向と y 方向に分離不可能
- $p = 0$ の場合

$$\begin{aligned}\phi_l(x, y) &= N r^{|l|} e^{il\phi} \exp\left(-\frac{r^2}{4\sigma^2}\right) \quad [\text{極座標 } (r, \phi)] \\ &= N \{x + i \cdot \text{sgn}(l)y\}^{|l|} \exp\left(-\frac{x^2 + y^2}{4\sigma^2}\right)\end{aligned}$$



ヘリカルビームの特徴

- 無限個の空間モード ($l = 0, \pm 1, \pm 2, \dots$)
- $x-y$ 平面内で位相が $0 \sim 2\pi l$ まで変化
- 軌道角運動量 lh を持つ

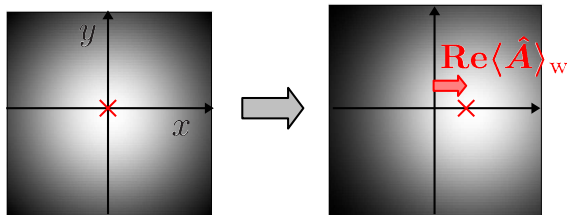


測定系の空間的な強度分布の変化

x 方向のみ相互作用した時 $\hat{H} = g\hat{A} \otimes \hat{P}_x$

$$\Delta x \propto \text{Re}\langle \hat{A} \rangle_w, \quad \Delta y = 0$$

- $l = 0$ (基本ガウスモード) の場合

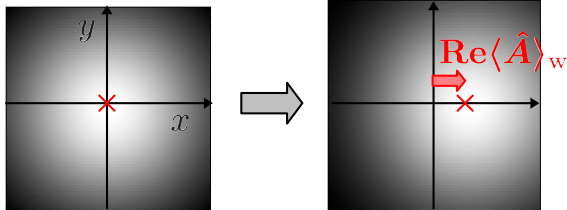


- $|l| > 0$ の場合

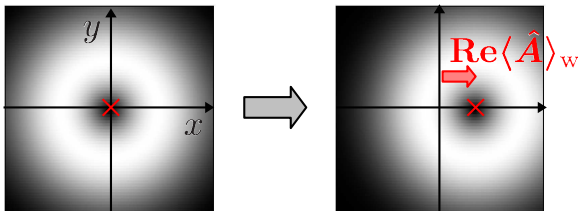
測定系の空間的な強度分布の変化

$$x \text{ 方向のみ相互作用した時 } \hat{H} = g\hat{A} \otimes \hat{P}_x$$
$$\Delta x \propto \text{Re}\langle \hat{A} \rangle_w, \quad \Delta y = 0$$

- $l = 0$ (基本ガウスモード) の場合



- $|l| > 0$ の場合

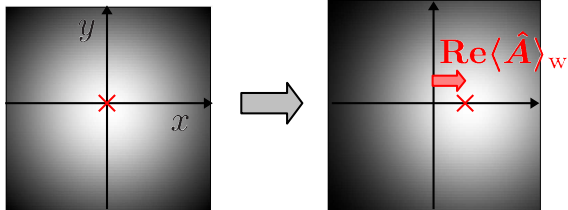


測定系の空間的な強度分布の変化

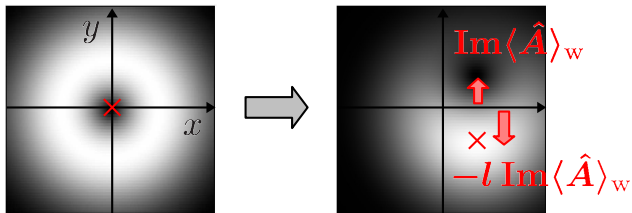
x 方向のみ相互作用した時 $\hat{H} = g\hat{A} \otimes \hat{P}_x$

$$\Delta x \propto \text{Re}\langle \hat{A} \rangle_w, \quad \Delta y \propto -l \text{Im}\langle \hat{A} \rangle_w$$

- $l = 0$ (基本ガウスモード) の場合



- $|l| > 0$ の場合: 強度分布の回転対称性が破れる

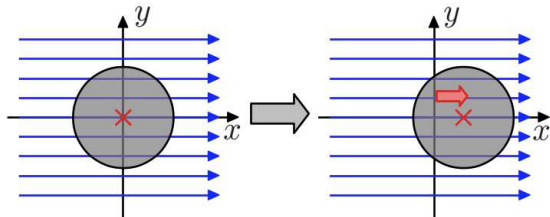


測定系の空間的な強度分布の変化

x 方向のみ相互作用した時 $\hat{H} = g\hat{A} \otimes \hat{P}_x$

$$\Delta x \propto \text{Re}\langle \hat{A} \rangle_w, \quad \Delta y \propto -l \text{Im}\langle \hat{A} \rangle_w$$

- $l = 0$ (基本ガウスモード) の場合



- $|l| > 0$ の場合 : 強度分布の回転対称性が破れる

